

УДК 621.394.74:519.2

© 2005 г. Б. С. Цыбаков

ПЕРИОДЫ ЗАНЯТОСТИ В СИСТЕМЕ С НЕОДНОРОДНЫМИ ОБСЛУЖИВАЮЩИМИ ПРИБОРАМИ ИЛИ КАНАЛАМИ

Рассматривается система с множеством каналов связи, имеющих различные скорости передачи. Дается решение интересной для такой системы задачи отыскания плотности распределения вероятности и функции распределения вероятности длины периода занятости порядка N . Решение в случае одинаковых каналов (обслуживающих приборов) было дано в [1].

§ 1. Введение

Рассматривается система с множеством каналов, имеющих различные скорости передачи. Для такой системы представляет интерес отыскание распределения вероятностей времени, в течение которого заданное или большее число каналов являются занятыми. Задача, рассматриваемая в этой статье, может быть сформулирована как отыскание распределения вероятностей длины периода занятости порядка N в системе массового обслуживания $M/M/\infty$.

Система $M/M/\infty$ находится в состоянии n в момент времени t , если она имеет ровно n занятых приборов в момент t , $n \in \{0, 1, \dots\}$. В состоянии n система обслуживает n требований. Обозначим через τ'_n длину интервала времени, который начинается в момент $t = 0$, когда система в состоянии n ; в течение этого интервала система находится в состояниях, которые больше или равны n ; в момент τ'_n система переходит в состояние $n - 1$ в первый раз после $t = 0$. Назовем этот интервал *периодом занятости порядка n* , а момент τ'_n назовем *длиной периода занятости порядка n* , $n \geq 1$. Если $n = 1$, то период занятости порядка 1 – это обычный период занятости, который рассматривается для систем $M/M/m$, $m < \infty$ (см., например, [2–6]).

Введем следующие обозначения. Пусть случайная величина ξ обозначает интервал между поступлениями требований и имеет плотность распределения вероятностей

$$p_\xi(x) = \lambda e^{-\lambda x}, \quad x \geq 0; \quad p_\xi(x) = 0, \quad x < 0. \quad (1)$$

В (1) параметр λ обозначает интенсивность пуассоновского потока поступающих требований.

Пусть случайная величина η_n обозначает время обслуживания в состоянии n . Время обслуживания в состоянии $n \geq 1$ есть время между моментом, когда система входит в состояние n , и моментом, когда требование получает обслуживание и покидает систему при условии, что нет новых поступлений требований между этими моментами. Предполагается, что η_n имеет плотность распределения вероятностей

$$p_{\eta_n}(x) = \mu_n e^{-\mu_n x}, \quad x \geq 0; \quad p_{\eta_n}(x) = 0, \quad x < 0, \quad (2)$$

где μ_n – средняя скорость обслуживания в состоянии n .

Будем считать, что приборы нумеруются числами $1, 2, \dots$, и в каждый момент, когда требование покидает систему, все оставшиеся в системе требования занимают приборы, имеющие наименьшие номера. Будем считать, что $\mu_{n+1} > \mu_n$ и $\mu_n \rightarrow \infty$ при $n \rightarrow \infty$. Например, μ_n может быть таким, что $\mu_n = \mu_1 + (n-1)\mu$, где μ_1 и μ заданы. В приложениях к системам связи приборы являются каналами и этот пример предполагает, что скорость передачи первого канала не равна скоростям передачи других каналов, имеющих равные скорости. Величина $(\mu_{n+1} - \mu_n)$ – средняя скорость обслуживания n -го прибора.

Наша задача – найти плотность распределения вероятностей $p_{r'_N}(t)$ и функцию распределения вероятностей $Q(T) = \int_0^T p_{r'_N}(t) dt$ длины периода занятости порядка N .

Важный частный случай, в котором все приборы в системе одинаковы со скоростью обслуживания, равной 1, т.е. $\mu_n = n$, был рассмотрен в [1], где доказано, что

$$Q(T) = 1 + \sum_{l=1}^{\infty} e^{-k_l T} \left(\sum_{k=0}^{\infty} \frac{(N+1+k)!(-\lambda)^k}{\Gamma(N+2-k_l+k)k!} \right) / k_l \left(\sum_{k=0}^{\infty} \frac{(N+k)!(-\lambda)^k}{\Gamma(N+1-k_l+k)k!} \right). \quad (3)$$

Здесь $\Gamma(\cdot)$ – гамма-функция Эйлера, k_l , $l = 1, 2, \dots$, – нули функции

$$f(x) = \sum_{k=0}^{\infty} \frac{(N+k)!(-\lambda)^k}{\Gamma(N+1-x+k)k!}, \quad (4)$$

а $(f(k_i))'$ – производная по x функции $f(x)$ при $x = k_l$.

Также рассматривался случай $\mu_n = n$ и связанная с ним задача времени пребывания процесса рождения и гибели выше заданного уровня.

Анализируя динамические словари, работа [7] вводит время пребывания системы $M/M/\infty$ выше заданного порога при условии, что система находится в равновесии в момент 0. Распределение этого времени было найдено с помощью корней многочленов Пуассона–Шарлье.

Преобразование Лапласа функции $p_{r'_N}(t)$ найдено в работе [8], а функция $Q(T)$ оценивается численно в [9] с помощью введенного метода деинформизации. Метод, примененный в [8], основан на использовании производящих функций и контурного интегрирования. После опубликования работ [8, 9] в [10] был дан ряд дополнений и обобщений, использующих более простые методы.

В [11] анализ, проведенный в [1], распространяется на более общие процессы рождения и гибели.

В работе [12] рассматривается обобщение системы $M/M/\infty$ на случай группового поступления требований. Дается распределение вероятностей времени после момента t до момента, когда система становится пустой, при условии, что новые требования не обслуживаются после момента t .

В [13] рассматривается система $M/G/\infty$ и даются результаты, связанные с функцией распределения вероятностей длины периода занятости и распределением вероятностей числа периодов занятости, в которых обслуживается заданное число требований, поступающих в заданном интервале времени. Ранее в [14] рассматривалась связь задачи отыскания распределения периода занятости системы $M/G/\infty$ с так называемыми задачами геометрической вероятности и приводились результаты решения задачи покрытия случайными интервалами.

В [15] анализируется так называемая система *пачки*/ M/∞ с пуассоновским процессом поступления требований, который включается и выключается в моменты изменения независимого альтернативного процесса регенерации. Она доказывает, что

равновесное распределение числа требований в системе с пачками полностью описывается в терминах используемого в этой работе понятия перпетрума (решения случайных дифференциальных уравнений), и использует этот результат для отыскания вероятности того, что число требований в системе выше заданного уровня.

В § 2 настоящей статьи найдены плотность вероятности $p_{\tau'_N}(t)$ и функция распределения вероятностей $Q(T)$ в общем случае μ_n . Вывод $p_{\tau'_N}(t)$ аналогичен выводу, предложенному в [1] для случая $\mu_n = n$. По этой причине детали вывода опускаются. Однако имеется отличие в выводах, использованных в [1] и в § 2 статьи. Результаты работы [1] связаны с нулями функции (4), которые являются действительными, если $\mu_n = n$, а результаты § 2 связаны с комплексными нулями в общем случае μ_n . По этой причине теоремы о нулях, использованные в [1], не работают в нашем рассмотрении. В § 2 функция $p_{\tau'_N}(t)$ представлена как обратное преобразование Лапласа предельной последовательности аппроксимаций для преобразований Лапласа функции $p_{\tau'_N}(t)$. Эта предельная последовательность также дает аппроксимации для $p_{\tau'_N}(t)$. В конце § 2 сформулированы результаты в виде теоремы. В § 3 даются численные примеры, которые иллюстрируют результаты. В случае $\mu_n = n$ они показывают сравнение аппроксимаций, полученных в [1] и в § 2 статьи (см. рис. 2 в § 3). В § 4 дается нижняя граница для $Q(T)$ при $\lambda < \mu_N$.

§ 2. Плотность распределения вероятностей периода занятости порядка N

Сначала будет найдено преобразование Лапласа $\tilde{p}_{\tau'_N}(s)$ функции $p_{\tau'_N}(t)$, а затем сама функция $p_{\tau'_N}(t)$. Эти результаты сформулированы в виде теоремы (см. ниже).

Пусть в момент $t = 0$ система находится в состоянии $n = N$. Имеет место равенство

$$\tau'_N = \begin{cases} \eta_N, & \text{если } \eta_N \leq \xi, \\ \xi + \tau_{N+1} + \tau_N, & \text{если } \eta_N > \xi, \end{cases} \quad (5)$$

которое обозначает следующее. Период занятости порядка N состоит только из времени, необходимого для обслуживания первого получающего обслуживание требования в состоянии N (это время η_N), если время поступления первого нового требования после $t = 0$ *больше* времени обслуживания η_N . Если время поступления первого нового требования после $t = 0$ *меньше* времени обслуживания η_N , то период занятости порядка N состоит из времени поступления первого нового требования после $t = 0$ (это время ξ) плюс длина периода занятости порядка $N + 1$, который начинается при $t = \xi$ (длина этого периода обозначается τ_{N+1}), плюс длина периода занятости порядка N , который начинается при $t = \xi + \tau_{N+1}$ (длина этого периода обозначается τ_N).

Случайная величина τ_N имеет то же распределение вероятностей, что и τ'_N , т.е. $\text{Pr}\{\tau'_N \leq x\} = \text{Pr}\{\tau_N \leq x\}$. Аналогично, $\text{Pr}\{\tau'_{N+1} \leq x\} = \text{Pr}\{\tau_{N+1} \leq x\}$. Поэтому не будем делать различия между τ'_N и τ_N . Также заметим, что так как мы рассматриваем не дискретные случайные величины, то такие события как $\tau_N \leq x$ и $\tau_N < x$ имеют одинаковые вероятности. Это было принято во внимание выше, а также будет использоваться ниже.

Из (5) следует следующее уравнение для $\tilde{p}_{\tau_N}(s)$ (см. [1, формула (2.2)] в случае $\eta_n = n$):

$$\tilde{p}_{\tau_N}(s) = \frac{\mu_N}{s + \lambda + \mu_N} + \frac{\lambda}{s + \lambda + \mu_N} \tilde{p}_{\tau_N}(s) \tilde{p}_{\tau_{N+1}}(s). \quad (6)$$

Уравнение (6) для $\tilde{p}_{\tau_N}(s)$ является рекуррентным и нелинейным.

Теперь, как и в [1] при $\mu_n = n$, мы дадим решение для уравнения (6). Имеем

$$\tilde{p}_{\tau_N}(s) = \frac{a_N(s)}{1 - b_N(s)\tilde{p}_{\tau_{N+1}}(s)}, \quad (7)$$

где

$$a_N(s) = \frac{\mu_N}{s + \lambda + \mu_N} \quad \text{и} \quad b_N(s) = \frac{\lambda}{s + \lambda + \mu_N}. \quad (8)$$

Решение (7) для $\tilde{p}_{\tau_1}(s)$ есть

$$\tilde{p}_{\tau_1}(s) = \frac{a_1(s)}{1 - b_1(s)\tilde{p}_{\tau_2}(s)}, \quad (9)$$

$$\tilde{p}_{\tau_1}(s) = \frac{a_1(s)}{1 - b_1(s)\frac{a_2(s)}{1 - b_2(s)\tilde{p}_{\tau_3}(s)}}, \quad (10)$$

$$\tilde{p}_{\tau_1}(s) = \frac{a_1(s)}{1 - b_1(s)\frac{a_2(s)}{1 - b_2(s)\frac{a_3(s)}{1 - b_3(s)\tilde{p}_{\tau_4}(s)}}} \quad (11)$$

и т.д.

Равенство (9) выражает $\tilde{p}_{\tau_1}(s)$ через $\tilde{p}_{\tau_2}(s)$, равенство (10) выражает $\tilde{p}_{\tau_1}(s)$ через $\tilde{p}_{\tau_3}(s)$, равенство (11) выражает $\tilde{p}_{\tau_1}(s)$ через $\tilde{p}_{\tau_4}(s)$ и т.д. Переходя к пределу, окончательно получаем выражение для $\tilde{p}_{\tau_1}(s)$ через $\tilde{p}_{\tau_\infty}(s)$. Если $N \rightarrow \infty$, то $\mu_N \rightarrow \infty$, и (6) показывает, что $\tilde{p}_{\tau_N}(s) \rightarrow 1$ при $N \rightarrow \infty$.

Таким образом, как в [1] при $\mu_n = n$, в последовательности (9), (10), (11), ... функция $\tilde{p}_{\tau_1}(s)$ имеет предельное выражение с $\tilde{p}_{\tau_\infty}(s) = 1$.

Можно использовать последовательность (9), (10), (11), ... для получения аппроксимаций $\tilde{p}_{\tau_1}^{(1)}(s), \tilde{p}_{\tau_1}^{(2)}(s), \tilde{p}_{\tau_1}^{(3)}(s), \dots$ для функции $\tilde{p}_{\tau_1}(s)$.

Делая первую аппроксимацию $\tilde{p}_{\tau_1}^{(1)}(s)$, мы можем использовать (9) с $\tilde{p}_{\tau_2}(s) = 1$. Получим

$$\tilde{p}_{\tau_1}^{(1)}(s) = \frac{\mu_1}{s + \mu_1}. \quad (12)$$

Делая вторую аппроксимацию $\tilde{p}_{\tau_1}^{(2)}(s)$, мы можем использовать (10) с $\tilde{p}_{\tau_3}(s) = 1$. Получим

$$\tilde{p}_{\tau_1}^{(2)}(s) = \frac{\mu_1 R_2(s, \lambda, \mu_2)}{U_2(s, \lambda, \mu_1, \mu_2)}, \quad (13)$$

где

$$R_2(s, \lambda, \mu_2) = s + \mu_2, \quad (14)$$

$$U_2(s, \lambda, \mu_1, \mu_2) = (s + \lambda + \mu_1)R_2(s, \lambda, \mu_2) - \lambda\mu_2 D_2, \quad (15)$$

$$D_2 = 1. \quad (16)$$

Заметим, что $R_2(s, \lambda, \mu_2)$ от λ не зависит.

Делая третью аппроксимацию $\tilde{p}_{\tau_1}^{(3)}(s)$, мы можем использовать (11) с $\tilde{p}_{\tau_4}(s) = 1$.
Получим

$$\tilde{p}_{\tau_1}^{(3)}(s) = \frac{\mu_1 R_3(s, \lambda, \mu_2, \mu_3)}{U_3(s, \lambda, \mu_1, \mu_2, \mu_3)}, \quad (17)$$

где

$$R_3(s, \lambda, \mu_2, \mu_3) = U_2(s, \lambda, \mu_2, \mu_3), \quad (18)$$

$$U_3(s, \lambda, \mu_1, \mu_2, \mu_3) = (s + \lambda + \mu_1)R_3(s, \lambda, \mu_2, \mu_3) - \lambda\mu_2 D_3(s, \lambda, \mu_3), \quad (19)$$

$$D_3(s, \lambda, \mu_3) = R_2(s, \lambda, \mu_3). \quad (20)$$

Заметим, что $D_3(s, \lambda, \mu_2)$ от λ не зависит.

Делая k -ю аппроксимацию так же, как выше, получим

$$\tilde{p}_{\tau_1}^{(k)}(s) = \frac{\mu_1 R_k(s, \lambda, \mu_2, \dots, \mu_k)}{U_k(s, \lambda, \mu_1, \dots, \mu_k)}, \quad k \geq 4, \quad (21)$$

где

$$R_k(s, \lambda, \mu_2, \dots, \mu_k) = U_{k-1}(s, \lambda, \mu_2, \dots, \mu_k), \quad (22)$$

$$U_k(s, \lambda, \mu_1, \dots, \mu_k) = (s + \lambda + \mu_1)R_k(s, \lambda, \mu_2, \dots, \mu_k) - \lambda\mu_2 D_k(s, \lambda, \mu_3, \dots, \mu_k), \quad (23)$$

$$D_k(s, \lambda, \mu_3, \dots, \mu_k) = R_{k-1}(s, \lambda, \mu_3, \dots, \mu_k). \quad (24)$$

Явные выражения для функций $R_k(\cdot)$ и $U_k(\cdot)$, участвующих в первых четырех аппроксимациях ($k = 2, \dots, 4$), даются равенствами

$$R_2(s, \lambda, \mu_2) = s + \mu_2, \quad (25)$$

$$U_2(s, \lambda, \mu_1, \mu_2) = s^2 + s(\lambda + \mu_1 + \mu_2) + \mu_1\mu_2, \quad (26)$$

$$R_3(s, \lambda, \mu_2, \mu_3) = s^2 + s(\lambda + \mu_2 + \mu_3) + \mu_2\mu_3, \quad (27)$$

$$U_3(s, \lambda, \mu_1, \mu_2, \mu_3) = s^3 + s^2(2\lambda + \mu_1 + \mu_2 + \mu_3) + s(\lambda^2 + \lambda\mu_1 + \lambda\mu_3 + \mu_1\mu_2 + \mu_1\mu_3 + \mu_2\mu_3) + \mu_1\mu_2\mu_3, \quad (28)$$

$$R_4(s, \lambda, \mu_2, \mu_3, \mu_4) = s^3 + s^2(2\lambda + \mu_2 + \mu_3 + \mu_4) + s(\lambda^2 + \lambda\mu_2 + \lambda\mu_4 + \mu_2\mu_3 + \mu_2\mu_4 + \mu_3\mu_4) + \mu_2\mu_3\mu_4, \quad (29)$$

$$U_4(s, \lambda, \mu_1, \mu_2, \mu_3, \mu_4) = s^4 + s^3(3\lambda + \mu_1 + \mu_2 + \mu_3 + \mu_4) + s^2(3\lambda^2 + 2\lambda\mu_2 + \lambda\mu_3 + 2\lambda\mu_4 + \mu_1\mu_2 + \mu_1\mu_3 + \mu_1\mu_4 + \mu_2\mu_3 + \mu_2\mu_4 + \mu_3\mu_4) + s(\lambda^3 + \lambda^2\mu_1 + \lambda^2\mu_4 + \lambda\mu_1\mu_2 + \lambda\mu_1\mu_4 + \lambda\mu_3\mu_4 + \mu_1\mu_2\mu_3 + \mu_1\mu_2\mu_4 + \mu_1\mu_3\mu_4 + \mu_2\mu_3\mu_4) + \mu_1\mu_2\mu_3\mu_4. \quad (30)$$

В случае $\mu_n = n\mu_1$ равенства (25)–(30) становятся следующими:

$$R_2(s, \lambda, \mu_2) = R_2(s, \lambda, \mu_1) = s + 2\mu_1, \quad (31)$$

$$U_2(s, \lambda, \mu_1, \mu_2) = U_2(s, \lambda, \mu_1) = s^2 + s(\lambda + 3\mu_1) + 2\mu_1^2, \quad (32)$$

$$R_3(s, \lambda, \mu_2, \mu_3) = R_3(s, \lambda, \mu_1) = s^2 + s(\lambda + 5\mu_1) + 6\mu_1^2, \quad (33)$$

$$U_3(s, \lambda, \mu_1, \mu_2, \mu_3) = U_3(s, \lambda, \mu_1) = \\ = s^3 + s^2(2\lambda + 6\mu_1) + s(\lambda^2 + 4\lambda\mu_1 + 11\mu_1^2) + 6\mu_1^3, \quad (34)$$

$$R_4(s, \lambda, \mu_2, \mu_3, \mu_4) = R_4(s, \lambda, \mu_1) = \\ = s^3 + s^2(2\lambda + 9\mu_1) + s(\lambda^2 + 6\lambda\mu_1 + 26\mu_1^2) + 24\mu_1^3, \quad (35)$$

$$U_4(s, \lambda, \mu_1, \mu_2, \mu_3, \mu_4) = U_4(s, \lambda, \mu_1) = \\ = s^4 + s^3(3\lambda + 10\mu_1) + s^2(3\lambda^2 + 15\lambda\mu_1 + 35\mu_1^2) + \\ + s(\lambda^3 + 5\lambda^2\mu_1 + 18\lambda\mu_1^2 + 50\mu_1^3) + 24\mu_1^4. \quad (36)$$

Аппроксимации $\tilde{p}_{\tau_1}^{(k)}(s)$ сходятся к $\tilde{p}_{\tau_1}(s)$ при $k \rightarrow \infty$.

Аппроксимация $\tilde{p}_{\tau_1}^{(k)}(s)$ представляет собой отношение $\frac{\mu_1 R_k(s, \lambda, \mu_2, \dots, \mu_k)}{U_k(s, \lambda, \mu_1, \dots, \mu_k)}$ многочлена $\mu_1 R_k(s, \lambda, \mu_2, \dots, \mu_k)$ по s (этот многочлен есть $c_k(s) = c_{0k}s^{k-1} + c_{1k}s^{k-2} + \dots + c_{k-1,k}$ с коэффициентами $c_{0k} = \mu_1$ и $c_{ik}, i > 0$, зависящими от $\lambda, \mu_1, \mu_2, \dots, \mu_k$) и многочлена $U_k(s, \lambda, \mu_1, \dots, \mu_k)$ по s (этот многочлен есть $d_k(s) = d_{0k}s^k + d_{1k}s^{k-1} + \dots + d_{kk}$ с коэффициентами $d_{0k} = 1$ и $d_{ik}, i > 0$, зависящими от $\lambda, \mu_1, \mu_2, \dots, \mu_k$).

Хорошо известно (см. [16]), что отношение многочленов $S_k(s) = c_k(s)/d_k(s)$ можно выразить как сумму k дробей

$$S_k(s) \triangleq \sum_{i \in I_0} \sum_{j=1}^{m_{ik}} \frac{h_{ijk}}{(s - s_{ik})^j}, \quad (37)$$

соответствующих корням s_{ik} (имеющим порядки m_{ik}) уравнения $d_k(s) = 0$ (здесь I_0 обозначает множество различных корней). Если все $m_{ik} = 1$, то

$$h_{ijk} = c_k(s_{ik}) / (d_k(s_{ik}))', \quad (38)$$

где $(d_k(s_{ik}))'$ обозначает производную по s функции $d_k(s)$ в точке $s = s_{ik}$. Заметим, что некоторые h_{ijk} и s_{ik} могут быть комплексными, а $S_k(s)$ остается действительным.

Хорошо известно также, что отношение многочленов $S_k(s) = c_k(s)/d_k(s)$ может быть выражено как сумма $S_k(s) = S_{1k}(s) + S_{2k}(s)$, где $S_{1k}(s)$ – сумма дробей

$$S_{1k}(s) \triangleq \sum_{i \in I_1} \sum_{j=1}^{m_{ik}} \frac{h_{ijk}^{(1)}}{(s - s_{ik})^j}, \quad (39)$$

соответствующих действительным корням s_{ik} (порядка m_{ik}) уравнения $d_k(s) = 0$ (здесь I_1 обозначает множество чисел различных действительных корней), а $S_{2k}(s)$ – сумма дробей

$$S_{2k}(s) \triangleq \sum_{i \in I_2} \sum_{j=1}^{m_{ik}} \frac{h_{ijk}^{(2)}(s + \nu_{ijk})}{[(s - \text{Res}_{ik})^2 + (\text{Im}s_{ik})^2]^j}, \quad (40)$$

соответствующих парам комплексно-сопряженных корней (порядка m_{ik}) ($\text{Res}_{ik} + i\text{Im}s_{ik}, \text{Res}_{ik} - i\text{Im}s_{ik}$) уравнения $d_k(s) = 0$ (здесь I_2 обозначает множество чисел

различных пар комплексно-сопряженных корней). Коэффициенты $h_{ijk}^{(1)}, h_{ijk}^{(2)}$ и ν_{ijk} в (39) и (40) можно найти, приравнявая коэффициенты одинаковых степеней s в двух частях равенства $c_k(s) = d_k(s)(S_{1k}(s) + S_{2k}(s))$.

Так как в соответствии с (12), (13), (17), (21), (39) и (40) аппроксимация $\tilde{p}_\tau^{(k)}(s)$ функции $\tilde{p}_\tau(s)$ есть сумма $S(s)$ отношений $\tilde{r}_{jk}^{(1)}(s) \triangleq h_{ijk}^{(1)}/(s - s_{ik})^j$ и $\tilde{r}_{jk}^{(2)}(s) \triangleq h_{ijk}^{(2)}/(s + \nu_{ijk})^j$, то аппроксимация $p_{\tau_1}^{(k)}(t)$ функции $p_{\tau_1}(t)$, которая дается обратным преобразованием Лапласа функции $S_k(s)$, является суммой обратных преобразований Лапласа функций $r_{jk}^{(1)}(t)$ и $r_{jk}^{(2)}(t)$ функций $\tilde{r}_{jk}^{(1)}(s)$ и $\tilde{r}_{jk}^{(2)}(s)$ соответственно. Функции $r_{jk}^{(1)}(t)$ и $r_{jk}^{(2)}(t)$ для небольших j могут быть найдены в опубликованных таблицах преобразований Лапласа. Например,

$$r_{1k}^{(1)}(t) = h_{i1k}^{(1)} e^{s_{ik}t}, \quad (41)$$

$$r_{1k}^{(2)}(t) = h_{i1k}^{(2)} e^{(\text{Res}_{ik})t} \sin\{(\text{Im}s_{ik})t + \arctg[\text{Im}s_{ik}/(\text{Re}s_{ik} + \nu_{i1k})]\}. \quad (42)$$

(Равенство (41) будет использовано в § 3.)

Имеется гипотеза, что все действительные и комплексно-сопряженные корни s_{ik} уравнения $d_k(s) = 0$ имеют порядок 1. Если гипотеза верна, то требуются только равенства (41) и (42) для выражения $r_{jk}^{(1)}(t)$ и $r_{jk}^{(2)}(t)$.

Эта гипотеза верна в случае $\mu_n = n$ [1,17]. В этом случае многочлен $U_k(s, \lambda, \mu_1, \dots, \mu_k)$ имеет действительные отрицательные корни s_{1k}, \dots, s_{kk} порядка 1, и аппроксимация $\tilde{p}_{\tau_1}^{(k)}(s)$ может быть представлена как

$$\tilde{p}_{\tau_1}^{(k)}(s) = \sum_{i=1}^k \frac{h_{ik}}{s - s_{ik}}, \quad (43)$$

где

$$h_{ik} = \frac{\mu_1 R_k(s_{ik}, \lambda, \mu_2, \dots, \mu_k)}{U'_k(s_{ik}, \lambda, \mu_1, \dots, \mu_k)}, \quad (44)$$

$U'_k(\cdot)$ – производная функции $U_k(s, \lambda, \mu_1, \dots, \mu_k)$ по s при $s = s_{ik}$.

Таким образом, в случае $\mu_n = n$ можно найти аппроксимации $p_{\tau_1}^{(k)}(t)$ функции $p_{\tau_1}(t)$, используя (41) и (43). Имеем

$$p_{\tau_1}^{(k)}(t) = \sum_{i=1}^k h_{ik} e^{s_{ik}t} \quad (45)$$

Аппроксимация (45) похожа на сумму, взятую по $1 \leq l \leq k$ (вместо суммы по $1 \leq l \leq \infty$) в (3) с $N = 1$, но коэффициенты и показатели экспонент в (45) и (3) различны. Численная иллюстрация аппроксимаций (45) и (3) (с суммами в (3), взятыми по $1 \leq l \leq k$) дается в § 3 (см. рис. 2).

В общем случае μ_n так же, как $\tilde{p}_{\tau_1}^{(k)}(s)$, – отношение многочленов, которое стремится к $\tilde{p}_{\tau_1}^{(k)}(s)$ при $k \rightarrow \infty$, функция $p_{\tau_1}^{(k)}(t)$ стремится к $p_{\tau_1}(t)$ при $k \rightarrow \infty$. Кроме того, функция $Q^{(k)}(T) = \int_0^T p_{\tau_1}^{(k)}(t) dt$ является верхней границей для $Q(T) = \int_0^T p_{\tau_1}(t) dt$, так как замена $\tilde{p}_{\tau_{n+1}}(s)$ в n -м члене последовательности (9), (10), (11), ... на $\tilde{p}_{\tau_\infty}(s) = 1$ означает, что при заданном n система проводит нулевое время в состоянии $n+1$, возвращаясь в состояние n немедленно.

Теперь, зная, как найти $\tilde{p}_{\tau_1}(s)$ и $p_{\tau_1}(t)$, мы переходим к следующему шагу отыскания выражения для $\tilde{p}_{\tau_N}(s)$, $N \geq 2$, через $\tilde{p}_{\tau_1}(s)$. Решение (7) дает

$$\tilde{p}_{\tau_2}(s) = \frac{1}{b_1(s)} \left(1 - \frac{a_1(s)}{\tilde{p}_{\tau_1}(s)} \right), \quad (46)$$

$$\tilde{p}_{\tau_3}(s) = \frac{1}{b_2(s)} \left(1 - \frac{a_2(s)}{\tilde{p}_{\tau_2}(s)} \right) = \frac{1}{b_2(s)} \left(1 - \frac{a_2(s)}{\frac{1}{b_1(s)} \left(1 - \frac{a_1(s)}{\tilde{p}_{\tau_1}(s)} \right)} \right), \quad (47)$$

$$\tilde{p}_{\tau_4}(s) = \frac{1}{b_3(s)} \left(1 - \frac{a_3(s)}{\tilde{p}_{\tau_3}(s)} \right) = \frac{1}{b_3(s)} \left(1 - \frac{a_3(s)}{\frac{1}{b_2(s)} \left(1 - \frac{a_2(s)}{\frac{1}{b_1(s)} \left(1 - \frac{a_1(s)}{\tilde{p}_{\tau_1}(s)} \right)} \right)} \right) \quad (48)$$

и т.п. Общее рекуррентное уравнение имеет вид

$$\tilde{p}_{\tau_{N+1}}(s) = \frac{1}{b_N(s)} \left[1 - \frac{a_N(s)}{\tilde{p}_{\tau_N}(s)} \right]. \quad (49)$$

Если взять любое равенство из последовательности равенств (46), (47), (48)..., другими словами, если взять равенство, которое дает $\tilde{p}_{\tau_N}(s)$ при заданном N , то, используя аппроксимирующую последовательность $\tilde{p}_{\tau_1}^{(1)}(s), \tilde{p}_{\tau_1}^{(2)}(s), \tilde{p}_{\tau_1}^{(3)}(s), \dots$ на том месте, где стоит $\tilde{p}_{\tau_1}(s)$, мы получим аппроксимирующую последовательность $\tilde{p}_{\tau_N}^{(k)}(s)$, $k = 2, 3, \dots$, сходящуюся к $\tilde{p}_{\tau_N}(s)$.

Сформулируем теперь полученные результаты в виде теоремы.

Теорема. Преобразование Лапласа плотности распределения вероятности $\tilde{p}_{\tau_N}(s)$ длины периода занятости порядка N , $N \geq 2$, для рассматриваемой системы $M/M/\infty$ с общим случаем μ_n дается равенствами (46)–(48), ..., и в общем виде – равенством (49), где $\tilde{p}_{\tau_1}(s)$ – предел последовательности (9), (10), (11), ... с $\tilde{p}_{\tau_\infty}(s) = 1$.

Аппроксимации $\tilde{p}_{\tau_1}^{(1)}(s), \tilde{p}_{\tau_1}^{(2)}(s), \tilde{p}_{\tau_1}^{(3)}(s), \dots$, стремящиеся к $\tilde{p}_{\tau_1}(s)$, даются равенствами (12)–(24).

Последовательные члены $\tilde{p}_{\tau_1}^{(k)}(s)$ аппроксимирующей последовательности $\tilde{p}_{\tau_1}^{(1)}(s), \tilde{p}_{\tau_1}^{(2)}(s), \tilde{p}_{\tau_1}^{(3)}(s), \dots$, используемые вместо $\tilde{p}_{\tau_1}(s)$ в равенстве для $\tilde{p}_{\tau_N}(s)$ (здесь N задано, а равенство для $\tilde{p}_{\tau_n}(s)$ берется из последовательности (46)–(48), ...), дают аппроксимирующую последовательность $\tilde{p}_{\tau_N}^{(k)}(s)$, стремящуюся к $\tilde{p}_{\tau_N}(s)$. Последовательность $\tilde{p}_{\tau_N}^{(k)}(t)$, соответствующая аппроксимирующей последовательности $\tilde{p}_{\tau_N}^{(k)}(s)$, $k = 2, 3, \dots$, сходится к $p_{\tau_N}(t)$.

Аппроксимация $\tilde{p}_{\tau_1}^{(k)}(s)$ функции $\tilde{p}_{\tau_1}(s)$ может быть представлена как функция $S_k(s)$, заданная равенствами (37) и (38), или как $S_k(s) = S_{1k}(s) + S_{2k}(s)$, где $S_{1k}(s)$ и $S_{2k}(s)$ даны равенствами (39) и (40). Аппроксимация $\tilde{p}_{\tau_1}^{(k)}(t)$ функции $p_{\tau_1}(t)$ есть обратное преобразование Лапласа функции $\tilde{p}_{\tau_1}^{(k)}(s) = S_k(s)$. Аппроксимации $\tilde{p}_{\tau_1}^{(1)}(t), p_{\tau_1}^{(2)}(t), p_{\tau_1}^{(3)}(t), \dots$ сходятся к $p_{\tau_1}(t)$.

Последовательность функций распределений $Q^{(k)}(T) = \int_0^T p_{\tau_1}^{(k)}(t)dt$, $k = 2, 3, \dots$,
стремится к $Q(T) = \int_0^T p_{\tau_1}(t)dt$.

§ 3. Численная иллюстрация результатов

Для иллюстрации результатов теоремы здесь приводятся три примера.

Пример 1. Этот пример дает четыре последовательные аппроксимации для $p_{\tau_1}(t)$ в случае $\lambda = 2$, $\mu_n = \mu_1 + (n - 1)\mu$, $\mu_1 = 2$, $\mu = 0,5$.

Используя (12), получаем первые аппроксимации $\tilde{p}_{\tau_1}^{(1)}(s)$ и $p_{\tau_1}^{(1)}(t)$:

$$\tilde{p}_{\tau_1}^{(1)}(s) = \frac{2}{s + 2} \quad (50)$$

и

$$p_{\tau_1}^{(1)}(t) = 2e^{-2t}. \quad (51)$$

Используя (13), получаем вторые аппроксимации $\tilde{p}_{\tau_1}^{(2)}(s)$ и $p_{\tau_1}^{(2)}(t)$:

$$\tilde{p}_{\tau_1}^{(2)}(s) = \frac{2(s + 2,5)}{s^2 + 6,5s + 5} = 2 \left(\frac{h_{12}}{s - s_{12}} + \frac{h_{22}}{s - s_{22}} \right), \quad (52)$$

$$p_{\tau_1}^{(2)}(t) = 2(h_{12}e^{s_{12}t} + h_{22}e^{s_{22}t}), \quad (53)$$

$$h_{12} = 0,659, \quad h_{22} = 0,341, \quad s_{12} = -5,608495\dots, \quad s_{22} = -0,891504\dots$$

Используя (17), получаем третьи аппроксимации $\tilde{p}_{\tau_1}^{(3)}(s)$ и $p_{\tau_1}^{(3)}(t)$:

$$\tilde{p}_{\tau_1}^{(3)}(s) = \frac{2(s^2 + 7,5s + 7,5)}{s^3 + 11,5s^2 + 32,5s + 15} = 2 \left(\frac{h_{13}}{s - s_{13}} + \frac{h_{23}}{s - s_{23}} + \frac{h_{33}}{s - s_{33}} \right), \quad (54)$$

$$p_{\tau_1}^{(3)}(t) = 2(h_{13}e^{s_{13}t} + h_{23}e^{s_{23}t} + h_{33}e^{s_{33}t}), \quad (55)$$

$$h_{13} = 0,251631\dots, \quad h_{23} = 0,574238\dots, \quad h_{33} = 0,174130\dots, \\ s_{13} = -7,362413\dots, \quad s_{23} = -3,566301\dots, \quad s_{33} = -0,571285\dots$$

Используя (21)–(24), получаем четвертые аппроксимации $\tilde{p}_{\tau_1}^{(4)}(s)$ и $\tilde{p}_{\tau_1}^{(4)}(t)$:

$$\tilde{p}_{\tau_1}^{(4)}(s) = \frac{2(s^3 + 8s^2 + 16,75s + 7,5)}{s^4 + 10s^3 + 30,75s^2 + 32,75s + 7,5} = \\ = 2 \left(\frac{h_{14}}{s - s_{14}} + \frac{h_{24}}{s - s_{24}} + \frac{h_{34}}{s - s_{34}} + \frac{h_{44}}{s - s_{44}} \right), \quad (56)$$

$$p_{\tau_1}^{(4)}(t) = 2(h_{14}e^{s_{14}t} + h_{24}e^{s_{24}t} + h_{34}e^{s_{34}t} + h_{44}e^{s_{44}t}) = \\ = 2 \left\{ h_{14}e^{s_{14}t} + 2e^{(\operatorname{Re} s_{24})t} \left[\operatorname{Re} h_{24} \cdot \cos[(\operatorname{Im} s_{24}) \cdot t] + \operatorname{Im} h_{24} \cdot \sin[(-\operatorname{Im} s_{24}) \cdot t] \right] + \right. \\ \left. + h_{44}e^{s_{44}t} \right\}, \quad (57)$$

$$h_{14} = 0,201404\dots, \quad \operatorname{Re} h_{24} = 0,342944\dots, \quad \operatorname{Im} h_{24} = 0,353928\dots, \\ \operatorname{Re} h_{34} = \operatorname{Re} h_{24}, \quad \operatorname{Im} h_{34} = -\operatorname{Im} h_{24}, \quad h_{44} = 0,112705, \\ s_{14} = -9,557073\dots, \quad \operatorname{Re} s_{24} = -3,502631\dots, \quad \operatorname{Im} s_{24} = -0,532005\dots, \\ \operatorname{Re} s_{34} = \operatorname{Re} s_{24}, \quad \operatorname{Im} s_{34} = -\operatorname{Im} s_{24}, \quad s_{44} = -0,437663\dots$$

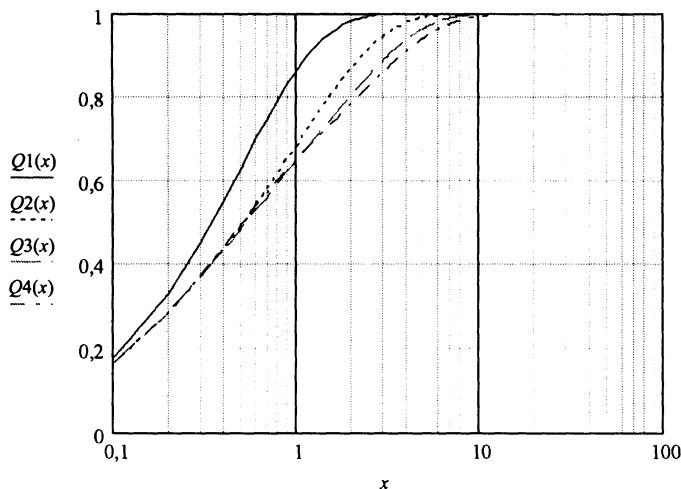


Рис. 1. Аппроксимации $Q^{(1)}(x)$, $Q^{(2)}(x)$, $Q^{(3)}(x)$, $Q^{(4)}(x)$ (которые обозначены $Q1(x)$, $Q2(x)$, $Q3(x)$, $Q4(x)$ соответственно) при $\lambda = 2$, $\mu_n = \mu_1 + (n - 1)\mu$, $\mu_1 = 2$, $\mu = 0,5$, $N = 1$

Для рассматриваемого случая на рис. 1 показаны аппроксимации $Q^{(k)}(x) = \int_0^x p_{\tau_1}^{(k)}(t)dt$, $k = 1, 2, 3, 4$, функции распределения вероятностей $Q(x) = \int_0^x p_{\tau_1}(t)dt$.

Эти аппроксимации $Q^{(1)}(x)$, $Q^{(2)}(x)$, $Q^{(3)}(x)$, $Q^{(4)}(x)$ на рис. 1 обозначены $Q1(x)$, $Q2(x)$, $Q3(x)$, $Q4(x)$ соответственно.

Пример 2. Этот пример дает четыре последовательные аппроксимации для $p_{\tau_1}(t)$ в случае $\lambda = 1$ и $\mu_n = n$. Рис. 2, который показывает эти аппроксимации, также показывает аппроксимации из [1].

Используя (12), получаем первые аппроксимации $\tilde{p}_{\tau_1}^{(1)}(s)$ и $p_{\tau_1}^{(1)}(t)$:

$$\tilde{p}_{\tau_1}^{(1)}(s) = \frac{1}{s + 1}, \quad (58)$$

$$p_{\tau_1}^{(1)}(t) = e^{-t}. \quad (59)$$

Используя (13), получаем вторые аппроксимации $\tilde{p}_{\tau_1}^{(2)}(s)$ и $p_{\tau_1}^{(2)}(t)$:

$$\tilde{p}_{\tau_1}^{(2)}(s) = \frac{s + 2}{s^2 + 4s + 2} = \frac{h_{12}}{s - s_{12}} + \frac{h_{22}}{s - s_{22}}, \quad (60)$$

$$p_{\tau_1}^{(2)}(t) = h_{12}e^{s_{12}t} + h_{22}e^{s_{22}t}, \quad (61)$$

$$h_{12} = 0,5, \quad h_{22} = 0,5, \quad s_{12} = -3,414213\dots, \quad s_{22} = -0,585786\dots$$

Используя (17), получаем третьи аппроксимации $\tilde{p}_{\tau_1}^{(3)}(s)$ и $p_{\tau_1}^{(3)}(t)$:

$$\tilde{p}_{\tau_1}^{(3)}(s) = \frac{s^2 + 6s + 6}{s^3 + 8s^2 + 16s + 6} = \frac{h_{13}}{s - s_{13}} + \frac{h_{23}}{s - s_{23}} + \frac{h_{33}}{s - s_{33}}, \quad (62)$$

$$p_{\tau_1}^{(3)}(t) = h_{13}e^{s_{13}t} + h_{23}e^{s_{23}t} + h_{33}e^{s_{33}t}, \quad (63)$$

$$h_{13} = 0,110560\dots, \quad h_{23} = 0,517742\dots, \quad h_{33} = 0,371697\dots, \\ s_{13} = -5,086130\dots, \quad s_{23} = -2,428007\dots, \quad s_{33} = -0,485863\dots$$

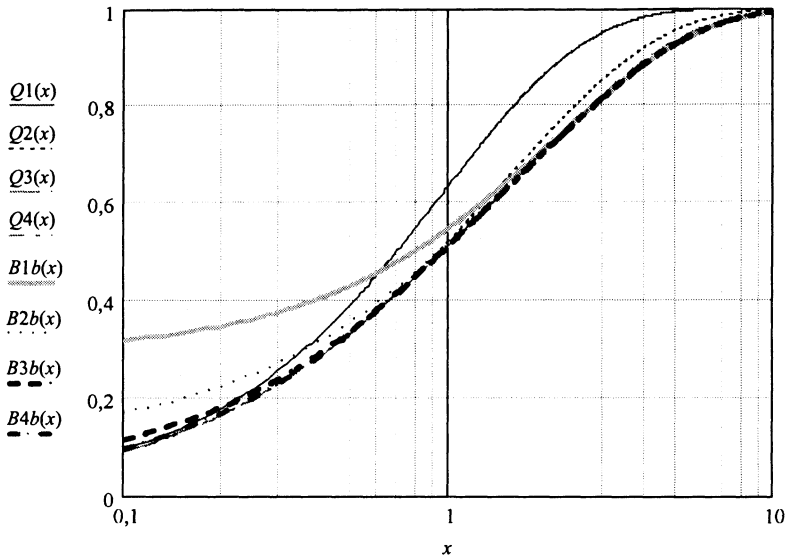


Рис. 2. Аппроксимации $Q^{(1)}(x)$, $Q^{(2)}(x)$, $Q^{(3)}(x)$, $Q^{(4)}(x)$ (которые обозначены $Q1(x)$, $Q2(x)$, $Q3(x)$, $Q4(x)$ соответственно) и аппроксимации $B^{(1)}(x)$, $B^{(2)}(x)$, $B^{(3)}(x)$, $B^{(4)}(x)$ из [1] (которые обозначены $B1b(x)$, $B2b(x)$, $B3b(x)$, $B4b(x)$ соответственно) при $\lambda = 1$, $\mu_n = n$, $N = 1$

Используя (21)–(24), получаем четвертые аппроксимации $\tilde{p}_{\tau_1}^{(4)}(s)$ и $p_{\tau_1}^{(4)}(t)$:

$$\tilde{p}_{\tau_1}^{(4)}(s) = \frac{s^3 + 11s^2 + 33s + 24}{s^4 + 13s^3 + 53s^2 + 74s + 24} = \frac{h_{14}}{s - s_{14}} + \frac{h_{24}}{s - s_{24}} + \frac{h_{34}}{s - s_{34}} + \frac{h_{44}}{s - s_{44}}, \quad (64)$$

$$p_{\tau_1}^{(4)}(t) = h_{14}e^{s_{14}t} + h_{24}e^{s_{24}t} + h_{34}e^{s_{34}t} + h_{44}e^{s_{44}t}, \quad (65)$$

$$h_{14} = 0,099121\dots, \quad h_{24} = -0,599999\dots, \quad h_{34} = 1,175970\dots, \quad h_{44} = 0,324908\dots, \\ s_{14} = -7,034042\dots, \quad s_{24} = -3,0\dots, \quad s_{34} = -2,513464\dots, \quad s_{44} = -0,452493\dots$$

Для рассматриваемого случая с $\lambda = 1$, $\mu_1 = 1$ и $N = 1$ рис. 2 показывает аппроксимации $Q^{(k)}(x) = \int_0^x p_{\tau_1}^{(k)}(t)dt$, $k = 1, 2, 3, 4$, функции распределения вероятностей

$Q(x) = \int_0^x p_{\tau_1}(t)dt$. Аппроксимации $Q^{(1)}(x)$, $Q^{(2)}(x)$, $Q^{(3)}(x)$, $Q^{(4)}(x)$ на рис. 2 обозначены $Q1(x)$, $Q2(x)$, $Q3(x)$, $Q4(x)$ соответственно. Также рис. 2 показывает аппроксимации $B^{(1)}(x)$, $B^{(2)}(x)$, $B^{(3)}(x)$, $B^{(4)}(x)$ из [1] (они обозначены $B1b(x)$, $B2b(x)$, $B3b(x)$, $B4b(x)$ соответственно). Для $N = 1$ и $\mu_n = n$ [1]

$$B^{(i)}(x) = 1 + \sum_{j=1}^i \frac{R_j}{p_j} e^{p_j x}, \quad (66)$$

где символ p_j обозначает корень уравнения

$$\lambda e^{-\lambda} \sum_{j=0}^{\infty} \frac{\lambda^j}{(z + j)j!} = 0 \quad (67)$$

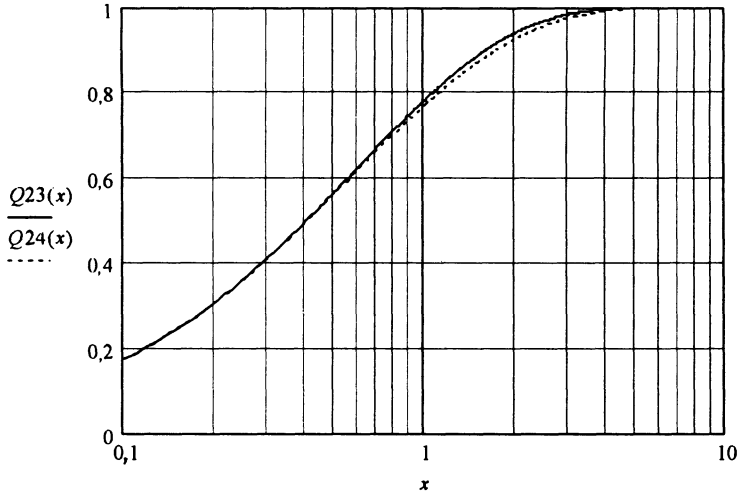


Рис. 3. Аппроксимации $Q^{(3)}(x)$, $Q^{(4)}(x)$ (которые обозначены $Q23(x)$, $Q24(x)$ соответственно) при $\lambda = 1$, $\mu_n = n$, $N = 2$

в интервале $-j < z < -j + 1$, а

$$R_j = \frac{e^\lambda}{\lambda \cdot \left(\sum_{k=0}^{\infty} \frac{\lambda^k}{(p_j + k)^2 k!} \right)}. \quad (68)$$

На рис. 2 аппроксимации $Q^{(i)}(x)$ показаны тонкими кривыми, а аппроксимации $B^{(i)}(x)$ – жирными кривыми. Кривые $Q^{(3)}(x)$, $Q^{(4)}(x)$ и $B^{(4)}(x)$ на рисунке так близки, что их не различить. Следующие аппроксимации $Q^{(k)}(x)$ и $B^{(k)}(x)$, $k > 4$, и сама кривая $Q(x)$, если бы они были показаны, а также $Q^{(4)}(x)$ и $B^{(4)}(x)$ тоже неразличимы. Такое поведение кривых аппроксимаций $Q^{(k)}(x)$ и $B^{(k)}(x)$, которое показано на рис. 2, является типичным.

Пример 3. Здесь используются равенство (43) и функции $\tilde{p}_{r_1}^{(3)}(s)$ и $\tilde{p}_{r_1}^{(4)}(s)$ из примера 2 для получения аппроксимаций $\tilde{p}_{r_2}^{(3)}(s)$ и $\tilde{p}_{r_2}^{(4)}(s)$ функции $\tilde{p}_{r_2}(s)$ и для получения аппроксимаций $p_{r_2}^{(3)}(t)$ и $p_{r_2}^{(4)}(t)$ функции $p_{r_2}(t)$. Это делается опять для случая $\lambda = 1$ и $\mu_n = n$.

Имеем

$$\tilde{p}_{r_2}^{(3)}(s) = \frac{s2\mu_1 + 6\mu_1^2}{s^2 + s(\lambda + 5\mu_1) + 6\mu_1^2} = \frac{h_{13}}{s - s_{13}} + \frac{h_{23}}{s - s_{23}}, \quad (69)$$

$$p_{r_2}^{(3)}(t) = h_{13}e^{s_{13}t} + h_{23}e^{s_{23}t}, \quad (70)$$

$$h_{13} = 1, \quad h_{23} = 1,$$

$$s_{13} = -4,732051 \dots, \quad s_{23} = -1,267949 \dots,$$

$$\tilde{p}_{r_2}^{(4)}(s) = \frac{s^2 2\mu_1 + s(2\lambda\mu_1 + 14\mu_1^2) + 24\mu_1^3}{s^3 + s^2(2\lambda + 9\mu_1) + s(\lambda^2 + 6\lambda\mu_1 + 26\mu_1^2) + 24\mu_1^3} = \frac{h_{14}}{s - s_{14}} + \frac{h_{24}}{s - s_{24}} + \frac{h_{34}}{s - s_{34}}, \quad (71)$$

$$p_{r_2}^{(4)}(t) = h_{14}e^{s_{14}t} + h_{24}e^{s_{24}t} + h_{34}e^{s_{34}t}, \quad (72)$$

$$h_{14} = 0,261176 \dots, \quad h_{24} = 1,027923 \dots, \quad h_{34} = 0,710900 \dots,$$

$$s_{14} = -6,477352 \dots, \quad s_{24} = -3,448070 \dots, \quad s_{33} = -1,074577 \dots$$

В этом случае с $\lambda = 1, \mu_1 = 1$ и $N = 2$ рис. 3 показывает аппроксимации $Q^{(k)}(x) = \int_0^x p_{\tau_2}^{(k)}(t)dt, k = 3, 4$, функции распределения вероятностей $Q(x) = \int_0^x p_{\tau_2}(t)dt$. Аппроксимации $Q^3(x), Q^4(x)$ на рис. 3 обозначены $Q23(x), Q24(x)$ соответственно.

§ 4. Нижняя граница для функции распределения

Здесь дается нижняя граница (90) (см. ниже) для $Q(T)$ при $\lambda < \mu_N$. Используя эту границу, можно проиллюстрировать близость полученных выше аппроксимаций точной величины $Q(T)$.

Для получения границы предположим снова, что система $M/M/\infty$ находится в состоянии $n = N$ в момент $t = 0$. Имеет место равенство

$$\tau'_N = \begin{cases} \eta_N^{(1)}, & \text{если } \eta_N^{(1)} \leq \xi^{(1)}, \\ \xi^{(1)} + \tau_{N+1}^{(1)} + \eta_N^{(2)}, & \text{если } \eta_N^{(1)} > \xi^{(1)}, \eta_N^{(2)} \leq \xi^{(2)}, \\ \xi^{(1)} + \tau_{N+1}^{(1)} + \xi^{(2)} + \tau_{N+1}^{(2)} + \tau_N^{(2)}, & \text{если } \eta_N^{(1)} > \xi^{(1)}, \eta_N^{(2)} > \xi^{(2)}. \end{cases} \quad (73)$$

Это равенство означает следующее.

Период занятости порядка N состоит только из интервала времени, необходимого для обслуживания первого требования, обслуживаемого в состоянии N (это время $\eta_N \equiv \eta_N^{(1)}$, так как рассматривается система $M/M/\infty$), если $\xi^{(1)}$, т.е. момент поступления первого нового требования после $t = 0$, больше времени обслуживания $\eta_N^{(1)}$.

Если $\xi^{(1)}$ меньше $\eta_N^{(1)}$, то период занятости порядка $N + 1$ начинается в момент $t = \xi^{(1)}$ и кончается в момент $t = \xi^{(1)} + \tau_{N+1}^{(1)}$, где $\tau_{N+1}^{(1)}$ обозначает длину этого периода занятости порядка $N + 1$. Если $\xi^{(2)}$, т.е. длина интервала времени между $t = \xi^{(1)} + \tau_{N+1}^{(1)}$ и моментом первого нового поступления после $t = \xi^{(1)} + \tau_{N+1}^{(1)}$, больше времени обслуживания $\eta_N^{(2)}$, т.е. времени, необходимого для обслуживания первого обслуживаемого требования в состоянии N , которое начинается в момент $t = \xi^{(1)} + \tau_{N+1}^{(1)}$, то период занятости порядка N , который начинается в момент $t = 0$, состоит из времени поступления первого нового требования после $t = 0$ (это время равно $\xi^{(1)}$) плюс длина периода занятости порядка $N + 1$, который начинается при $t = \xi^{(1)}$ (этот период имеет длину, обозначаемую $\tau_{N+1}^{(1)}$), плюс время обслуживания $\eta_N^{(2)}$.

Если $\xi^{(2)}$, т.е. длина интервала времени между $t = \xi^{(1)} + \tau_{N+1}^{(1)}$ и моментом первого нового поступления после $t = \xi^{(1)} + \tau_{N+1}^{(1)}$, меньше времени обслуживания $\eta_N^{(2)}$, то период занятости порядка N , который начинается в момент $t = 0$, состоит из времени поступления первого нового требования после $t = 0$ (это время равно $\xi^{(1)}$) плюс длина периода занятости порядка $N + 1$, который начинается при $t = \xi^{(1)}$ (этот период имеет длину, обозначенную $\tau_{N+1}^{(1)}$), плюс $\xi^{(2)}$, плюс длина периода занятости порядка $N + 1$, который начинается при $t = \xi^{(1)} + \tau_{N+1}^{(1)} + \xi^{(2)}$ (этот период имеет длину, обозначенную $\tau_{N+1}^{(2)}$), плюс длина периода занятости порядка N , который начинается при $t = \xi^{(1)} + \tau_{N+1}^{(1)} + \xi^{(2)} + \tau_{N+1}^{(2)}$ (этот период имеет длину, обозначенную $\tau_N^{(2)}$).

В системе $M/M/\infty$ имеются следующие свойства случайных величин, входящих в (73). Случайные величины $\xi^{(1)}, \xi^{(2)}, \eta_N^{(1)}, \eta_N^{(2)}, \tau_{N+1}^{(1)}, \tau_{N+1}^{(2)}$ являются независимыми. Плотности распределений вероятностей, одинаково распределенных $\xi^{(1)}$

и $\xi^{(2)}$, даны равенством (1). Плотности распределений вероятностей, одинаково распределенных $\eta_N^{(1)}$ и $\eta_N^{(2)}$, даны равенством (2). Случайные величины $\tau_{N+1}^{(1)}$ и $\tau_{N+2}^{(2)}$ распределены одинаково.

Равенство (73) дает

$$P(T, N) = Q_0 + Q_1 + Q_2, \quad (74)$$

где

$$Q_0 \triangleq \Pr \left\{ T < \eta_N^{(1)} \leq \xi^{(1)} \right\}, \quad (75)$$

$$Q_1 \triangleq \Pr \left\{ \tau_{N+1}^{(1)} > T - \xi^{(1)} - \eta_N^{(2)}, \quad \eta_N^{(1)} > \xi^{(1)}, \quad \eta_N^{(2)} \leq \xi^{(2)} \right\}, \quad (76)$$

$$Q_2 \triangleq \Pr \left\{ \tau_{N+1}^{(1)} + \tau_{N+1}^{(2)} + \tau_N^{(2)} > T - \xi^{(1)} - \xi^{(2)}, \quad \eta_N^{(1)} > \xi^{(1)}, \quad \eta_N^{(2)} > \xi^{(2)} \right\}. \quad (77)$$

Для $\Pr\{T < \eta_N \leq \xi\}$ имеем

$$\Pr\{T < \eta_N \leq \xi\} = \frac{\mu_N}{\lambda + \mu_N} e^{-(\lambda + \mu_N)T}. \quad (78)$$

Для Q_1 имеем

$$Q_1 = \begin{cases} Q_1^{(1)}, & \text{если } \xi^{(1)} + \eta_N^{(2)} \geq T, \\ Q_1^{(2)}, & \text{если } \xi^{(1)} + \eta_N^{(2)} < T, \end{cases} \quad (79)$$

где

$$\begin{aligned} Q_1^{(1)} &= \iint_{x+y \geq T} p_\xi(x) p_{\eta_N}(y) \Pr \left\{ \eta_N^{(1)} > x \right\} \Pr \left\{ \xi^{(2)} > y \right\} dx dy = \\ &= \int_0^T \left[\int_{T-x}^{\infty} \mu_N e^{-(\lambda + \mu_N)y} dy \right] \lambda e^{-(\lambda + \mu_N)x} dx = \frac{\lambda \mu_N T}{\lambda + \mu_N} e^{-(\lambda + \mu_N)T}. \end{aligned} \quad (80)$$

Вероятность $\Pr\{\tau_{N+1} + \tau_N > T - x\}$, участвующая в Q_1 , может быть ограничена сверху:

$$\Pr \{ \tau_{N+1} + \tau_N > T - x \} \leq \Pr \{ \tilde{\tau}_{N+1} + \tilde{\tau}_N > T - x \}, \quad (81)$$

где $\tilde{\tau}_N$ обозначает длину периода занятости в системе $M/M/1$ с интенсивностью входного потока λ и скоростью обслуживания $\check{\mu}_N = \mu_N, \lambda < \check{\mu}_N$. Случайные величины $\tilde{\tau}_N$ и $\tilde{\tau}_{N+1}$ независимы. Причина, по которой справедливо неравенство (81), состоит в следующем. В указанной системе $M/M/1$ средняя скорость обслуживания $\check{\mu}_N$ не меняется в зависимости от того, сколько требований находится в очереди, и эта скорость остается равной μ_N , где N задано. В системе же $M/M/\infty$ средняя скорость обслуживания μ_N зависит от числа требований в системе (т.е. от состояния системы N) и возрастает, если это число требований возрастает, а событие "в системе остается всего $N - 1$ требование" (это событие означает конец периода занятости

порядка N) не наступает. Принимая это во внимание, получаем

$$\begin{aligned}
 Q_1^{(2)} &= \iint_{x+y < T} p_{\eta_N}(y) p_{\xi}(x) \Pr \left\{ \eta_N^{(1)} > x \right\} \Pr \left\{ \xi^{(2)} > y \right\} \Pr \left\{ \tau_{N+1}^{(1)} > T - x - y \right\} dx dy = \\
 &= \int_0^T \left[\int_0^{T-x} \mu_N e^{-(\lambda + \mu_N)y} \Pr \left\{ \tau_{N+1}^{(1)} > T - x - y \right\} dy \right] \lambda e^{-(\lambda + \mu_N)x} dx \leq \\
 &\leq \lambda \mu_N \int_0^T \left[\int_x^T e^{-(\lambda + \mu_N)y} \left(\int_{T-y}^{\infty} p_{\tau_{N+1}}(z) dz \right) dy \right] dx. \tag{82}
 \end{aligned}$$

Для Q_2 имеем

$$Q_2 = \begin{cases} Q_2^{(1)}, & \text{если } \xi^{(1)} + \eta_N^{(2)} \geq T, \\ Q_2^{(2)}, & \text{если } \xi^{(1)} + \eta_N^{(2)} < T, \end{cases} \tag{83}$$

где

$$\begin{aligned}
 Q_2^{(1)} &= \iint_{x+y \geq T} p_{\xi}(x) p_{\xi}(y) \Pr \left\{ \eta_N^{(1)} > x \right\} \Pr \left\{ \eta_N^{(2)} > y \right\} dx dy = \\
 &= \int_0^T \left[\int_{T-x}^{\infty} \lambda e^{-(\lambda + \mu_N)y} dy \right] \lambda e^{-(\lambda + \mu_N)x} dx = \frac{\lambda^2 T}{\lambda + \mu_N} e^{-(\lambda + \mu_N)T}, \tag{84}
 \end{aligned}$$

и подобно (82)

$$\begin{aligned}
 Q_2^{(2)} &= \iint_{x+y < T} p_{\xi}(x) p_{\xi}(y) \Pr \left\{ \eta_N^{(1)} > x \right\} \Pr \left\{ \eta_N^{(2)} > y \right\} \Pr \left\{ \tau_{N+1}^{(1)} + \tau_{N+1}^{(2)} + \tau_N^{(2)} > T - x - y \right\} dx dy = \\
 &= \int_0^T \left[\int_0^{T-x} \lambda e^{-(\lambda + \mu_N)y} \Pr \left\{ \tau_{N+1}^{(1)} + \tau_{N+1}^{(2)} + \tau_N^{(2)} > T - x - y \right\} dy \right] \lambda e^{-(\lambda + \mu_N)x} dx \leq \\
 &\leq \lambda^2 \int_0^T \left[\int_x^T e^{-(\lambda + \mu_N)y} \left(\int_{T-y}^{\infty} p_{\tau_{N+1}^{(1)} + \tau_{N+1}^{(2)} + \tau_N}(z) dz \right) dy \right] dx. \tag{85}
 \end{aligned}$$

Теперь нам нужно найти плотность вероятности $p_{\tau_{N+1}^{(1)} + \tau_{N+1}^{(2)} + \tau_N}(z)$. Имеем

$$p_{\tau_{N+1}^{(1)} + \tau_{N+1}^{(2)} + \tau_N}(z) = \int_0^z p_{\tau_N}(x) p_{\tau_{N+1}^{(1)} + \tau_{N+1}^{(2)}}(z - x) dx, \tag{86}$$

где $p_{\tau_N}(x)$ дается равенством

$$p_{\tau_N}(x) = \frac{1}{x \sqrt{\frac{\lambda}{\mu_N}}} \exp\{-(\lambda + \mu_N)x\} I_1 \left[2x \sqrt{\lambda \mu_N} \right], \tag{87}$$

в котором I_1 обозначает модифицированную функцию Бесселя первого рода и первого порядка.

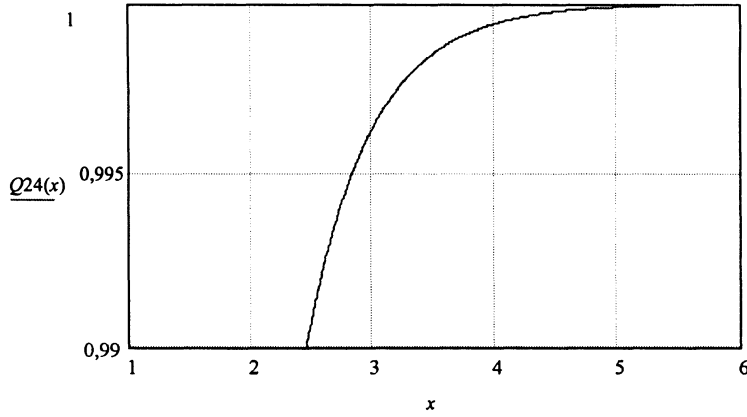


Рис. 4. Аппроксимация $Q^4(x)$ (которая обозначена $Q24(x)$) при $\lambda = 0,1, \mu_n = n, N = 2$

Чтобы закончить отыскание нижней границы для $Q(T)$, нам нужно использовать известное преобразование Лапласа $\tilde{p}_{\tilde{\tau}_{N+1}}(s)$ функции $p_{\tilde{\tau}_{N+1}}(x)$:

$$\tilde{p}_{\tilde{\tau}_{N+1}}(s) = \frac{2\mu_{N+1}}{\lambda + \mu_{N+1} + s + \sqrt{(\lambda + \mu_{N+1} + s)^2 - 4\lambda\mu_{N+1}}} \quad (88)$$

Согласно (88) мы получаем следующее преобразование Лапласа $\tilde{p}_{\tilde{\tau}_{N+1}^{(1)} + \tilde{\tau}_{N+1}^{(2)}}(s)$ функции $p_{\tilde{\tau}_{N+1}^{(1)} + \tilde{\tau}_{N+1}^{(2)}}(x)$:

$$\tilde{p}_{\tilde{\tau}_{N+1}^{(1)} + \tilde{\tau}_{N+1}^{(2)}}(s) = \left[\frac{2\mu_{N+1}}{\lambda + \mu_{N+1} + s + \sqrt{(\lambda + \mu_{N+1} + s)^2 - 4\lambda\mu_{N+1}}} \right]^2 \quad (89)$$

Равенства, приведенные выше, дают следующую нижнюю границу для $Q(T)$ при $\lambda < \mu_N$:

$$Q(T) \geq 1 - \left\{ \frac{\mu_N + \lambda\mu_N T + \lambda^2 T}{\lambda + \mu_N} e^{-(\lambda + \mu_N)T} + \lambda\mu_N \int_0^T \left[\int_x^T e^{-(\lambda + \mu_N)y} \left(\int_{T-y}^{\infty} p_{\tilde{\tau}_{N+1}}(z) dz \right) dy \right] dx + \lambda^2 \int_0^T \left[\int_x^T e^{-(\lambda + \mu_N)y} \left(\int_{T-y}^{\infty} p_{\tilde{\tau}_{N+1}^{(1)} + \tilde{\tau}_{N+1}^{(2)} + \tilde{\tau}_N}(z) dz \right) dy \right] dx \right\}, \quad (90)$$

где $p_{\tilde{\tau}_N}(x)$ дается равенством (87), $p_{\tilde{\tau}_{N+1}^{(1)} + \tilde{\tau}_{N+1}^{(2)} + \tilde{\tau}_N}(x)$ дается равенством (86), а

$$p_{\tilde{\tau}_{N+1}^{(1)} + \tilde{\tau}_{N+1}^{(2)}}(x) = \frac{2\mu_{N+1}}{\lambda x} \exp\{-[\lambda + \mu_{N+1}]x\} I_2 \left[2x\sqrt{\lambda\mu_{N+1}} \right], \quad (91)$$

где I_m обозначает модифицированную функцию Бесселя порядка $m \geq 0$.

Для численной иллюстрации проведем сравнение нижней границы (90) и верхней границы $Q^{(4)}(x)$ в случае $\lambda = 0, 1$, $\mu_n = n$, $N = 2$. Для $\tilde{p}_{\tau_2}^{(4)}(s)$ и $p_{\tau_2}^{(4)}(t)$ мы имеем выражения (71) и (72) соответственно, где

$$h_{14} = 0,027979\dots, \quad h_{24} = 0,401334\dots, \quad h_{34} = 1,570686\dots, \\ s_{14} = -4,356135\dots, \quad s_{24} = -3,018830\dots, \quad s_{13} = -1,825034\dots$$

Кривая $Q_{24}(x)$ на рис. 4 показывает верхнюю границу $Q^{(4)}(x)$. Нижняя граница (90) не показана на этом рисунке, так как она почти та же, что и $Q^{(4)}(x)$ в первых трех значащих цифрах, дающих $Q(2, 5) = 0,991\dots$, $Q(3) = 0,996\dots$, $Q(3, 5) = 0,998\dots$ и $Q(4) = 0,999\dots$.

В заключение отметим, что нижняя граница может быть улучшена, если вместо (73) использовать более общее равенство, например,

$$\tau'_N = \begin{cases} \eta_N^{(1)}, & \text{если } \eta_N^{(1)} \leq \xi^{(1)}, \\ \sum_{i=1}^{k-1} (\xi^{(i)} + \tau_{N+1}^{(i)}) + \eta_N^{(k)}, & \text{если } \eta_N^{(j)} > \xi^{(j)}, j = 1, \dots, k-1; \eta_N^{(k)} \leq \xi^{(k)}, \\ \sum_{i=1}^k (\xi^{(i)} + \tau_{N+1}^{(i)}) + \tau_N^{(k)}, & \text{если } \eta_N^{(j)} > \xi^{(j)}, j = 1, \dots, k \end{cases} \quad (92)$$

при $1 < k \leq K$, где $K > 0$ обозначает любое заданное число или бесконечность. Равенства (5) и (73) – частные случаи равенства (92).

СПИСОК ЛИТЕРАТУРЫ

1. *Guillemin F., Pinchon D.* Continued Fraction Analysis of the Duration of an Excursion in an $M/M/\infty$ System // *J. Appl. Probability.* 1998. V. 35. P. 165–183.
2. *Гнеденко Б.В., Коваленко И.Н.* Введение в теорию массового обслуживания. М.: Наука, 1987.
3. *Kleinrock L.* Queueing Systems. V. 1. New York: Wiley, 1975.
4. *Takagi H.* Queueing Analysis: A Foundation of Performance Evaluation. V. 1. Amsterdam: North-Holland, 1991.
5. *Wolff W.* Stochastic Modeling and the Theory of Queues. New Jersey: Prentice Hall, 1989.
6. *Tsybakov B.S.* Probability of Heavy Traffic Period in Third Generation CDMA Mobile Communication // *Mobile Networks and Applications.* 2000. V. 6. P. 463–470.
7. *Morrison J.A., Shepp L.A., Van Wyk C.J.* A Queueing Analysis of Hashing with Lazy Deletion // *SIAM J. Comput.* 1987. V. 16. № 6. P. 1155–1164.
8. *Guillemin F., Simonian A.* Transient Characteristics of an $M/M/\infty$ System // *J. Appl. Probability.* 1995. V. 27. P. 862–888.
9. *Guillemin F., Rubino G., Sericola B., Simonian A.* Transient Analysis of Statistical Multiplexing of Data Connections on an ATM Link // *Proc. ITC'15.* Washington, 1997.
10. *Preater J.* $M/M/\infty$ Transience Revisited // *J. Appl. Probability.* 1997. V. 34. P. 1061–1067.
11. *Guillemin F., Pinchon D.* Excursions of Birth and Death Processes, Orthogonal Polynomials, and Continued Fractions // *J. Appl. Probability.* 1999. V. 36. P. 752–770.
12. *Brown M., Ross S.M.* Some Results for Infinite Server Poisson Queues // *J. Appl. Probability.* 1969. V. 6. № 3. P. 604–611.
13. *Stadje W.* The Busy Period of the Queueing System $M/M/\infty$ // *J. Appl. Probability.* 1985. V. 22. № 3. P. 697–704.

14. *Siegel A.F.* Asymptotic Coverage Distributions on the Circle // *Ann. Probability.* 1979. V. 7. № 4. P. 651–661.
15. *Preater J.* A Perpetuity and the $M/M/\infty$ Ranked Server System // *J. Appl. Probability.* 1997. V. 34. P. 508–513.
16. *Korn G.A., Korn T.M.* *Mathematical Handbook for Scientists and Engineers.* New York: McGraw-Hill, 1968.
17. *Ismail M., Letessier J., Valent G.* Linear Birth and Death Models and Associated Laguerre and Meixner Polynomials // *J. Approx. Theory.* 1988. V. 55. P. 337–348.

Цыбаков Борис Соломонович
Институт проблем передачи информации РАН
Куалком, Сан Диего, США
borist@qualcomm.com

Поступила в редакцию
30.11.2004
После переработки
17.03.2005